

円筒部の温度分布が近似的に定常状態となるのに約12時間要した。なお、円筒試験体の冷却実験に先立ってテストピースを用いて常温～-80℃の温度範囲でコンクリートの圧縮強度、静弾性係数、ポアソン比、引張強度および鉄筋の引張強度、弾性係数についての試験を行なった。

3 実験結果と考察

リング筋D22を用いた試験体（鉄筋比 $p = 1.5\%$ ）の実験結果の一部を図-3, 4に示した。図-3は円筒断面の温度分布が近似的に定常状態になったときの内外表面平均温度差 (ΔT) と直径変化 (δ) を示したもので、変位計で測定した値と、コンクリートの外表面の平均圧縮ひずみ ($\bar{\epsilon}_{c\theta}$) から算定した値とがよく近似している。図-4は内外表面平均温度差 (ΔT) とリング筋の平均温度応力ひずみ ($\bar{\epsilon}_{s\theta}$) を示したものである。図-3, 4の計算値は無限長軸対称積層円筒殻の定常温度分布における温度応力¹⁾

の近似解である。破線はひびわれを考慮した非弾性計算値（ひびわれ発生後ひびわれ直交方向の剛性を零とした）であり、実線は温度変化に対応してコンクリートの線膨張係数 (α_c) と静弾性係数 (E_c) のみの変化を考慮した弾性計算値である。なお、温度分布は両者ともすべて同一とした。ここに、鉄筋の静弾性係数 $E_s = 2.1 \times 10^6$ 、線膨張係数 $\alpha_s = 12.5 \times 10^{-6} / ^\circ\text{C}$ 、コンクリートのポアソン比 $\nu_c = 1/6$ 、ひびわれ発生ひずみ $\epsilon_{cr} = 100 \times 10^{-6}$ である。なお、コンクリートの温度変化に対する α_c と E_c の値は表-2と図-5に示す。直径変化およびコンクリート表面のひずみの実験値は、A, C断面では弾性計算値に近似し、B

断面では非弾性計算値に近似している。鉄筋のひずみの実験値は、A, C断面では弾性計算値の近傍にあるか、あるいは多少下まわっており、B断面では非弾性計算値よりかなり大きくなっている。特にB断面で鉄筋のひずみの実験値が計算値より大きくなっているのは鉄筋とコンクリートの附着がまだ十分ある状態で、ひびわれが鉄筋のひずみ測定位置の近傍に集中して発生したものと推定される。図-6は各温度段階における

C断面引張側で測定したコンクリートのひずみ分布を示したものである。内壁表面平均温度が-12℃（内外表面平均温度差 $\Delta T = 15^\circ\text{C}$ ）になるとひずみは部分的に急に増大するところがあり、以後 ΔT の増加に伴うこの傾向はさらに増長されている。したがって鉄筋ひずみ分布も一様でなくなり、鉄筋ひずみよりRC構造としての平均的な挙動を正確に推定するには若干問題があるように思われる。

1) 林 毅 編；軽構造の理論とその応用 上 P 540

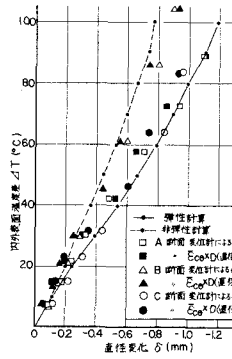


図-3 $\Delta T \sim \delta$

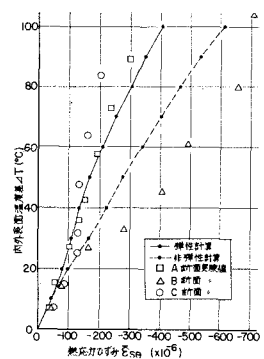


図-4 $\Delta T \sim \bar{\epsilon}_{s\theta}$

温度範囲 $^\circ\text{C}$	20 ~ 0	20 ~ -10	20 ~ -20	20 ~ -30	20 ~ -40	20 ~ -50	20 ~ -60	20 ~ -70	20 ~ -80
線膨張係数 $\times 10^{-6} / ^\circ\text{C}$	11.2	12.5	12.7	12.9	10.9	11.3	10.6	9.9	9.2

表-2 コンクリートの平均線膨張係数

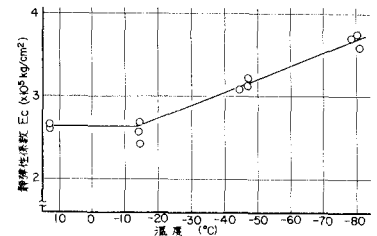


図-5 静弾性係数～温度

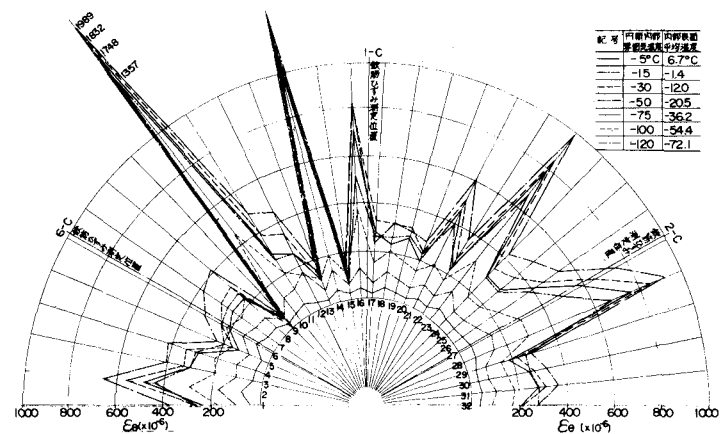


図-6 円筒内表面ひずみ分布 (C断面)